

建設省土木研究所 正光家 廉次
正千野 啓次
正湯井 幸武

1. はじめに

多柱式基礎は水中にあける施工性に優れた基礎形式であるが、その自由長が長いために、水平荷重に対する抵抗が小さいところに構造上の弱点がある。従来、多柱式基礎や群ぐいの弾性範囲内での載荷試験は例があるが、地盤や基礎部材が降伏状態に達するような終局状態まで載荷した試験例は殆んどない。本実験は、実物に近い大きさの模型による終局状態までの載荷試験を実施し、基礎の耐力、終局状態における基礎の挙動、フーチングバネ定数や地盤反力係数の減少度合等について検討するものである。

2. 試験方法

図-1に試験体と土質条件を示す。P2, P1とともに直径600mmの鋼管ぐい9本よりなる大規模な模型である。両試験体に互いに反力をとりことにより水平荷重を加え、変位量およびぐいのひずみ量を測定した。基礎における終局状態には、地盤に起因するものと、基礎体に起因するものが考えられる。

地盤によるものとして、道路橋示方書にから小法基準変位量1mmを考慮し、地表面変位がその値となる荷重を目安とした。示方書における式より、くい1本の許容支持力を次のように求まる。

$$H_a = \frac{12 E I B^3}{(1+Bh)^2 + 2} \cdot S_a$$

これより、P2では約69t/m、P1では約84t/mが通常の設計における許容水平支持力となる。

基礎体によるものとしては、くい頭部の応力が降伏点に達することにより、終局状態に至ると考えられるが、その荷重の推定は以下のように行なった。終局状態においては、地表面の地盤の抵抗が減少し、ぐい結合に近い状態に至るものと仮定してくい頭モーメントをくいの水平力と自由長の積とした。これと全体のモーメントのつりあいからもとまる軸力を算出し、生ずる応力がくいの降伏点(2400kg/cm²)に達する荷重を求めた。P2においては約146t/m、P1では約173t/mがその荷重に相当する。

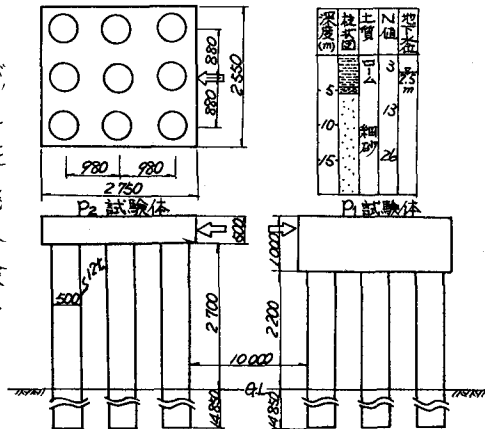


図-1 基礎模型諸元および土質柱状図

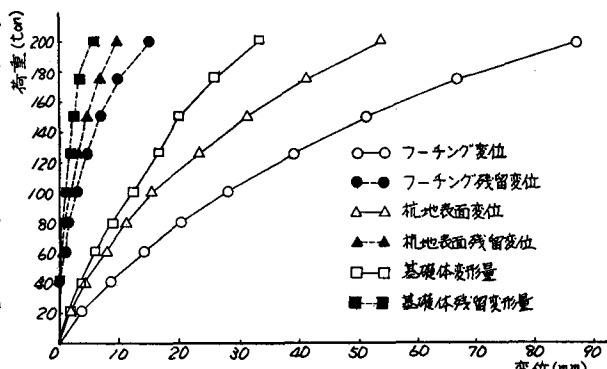


図-2 P2 試験体変位量

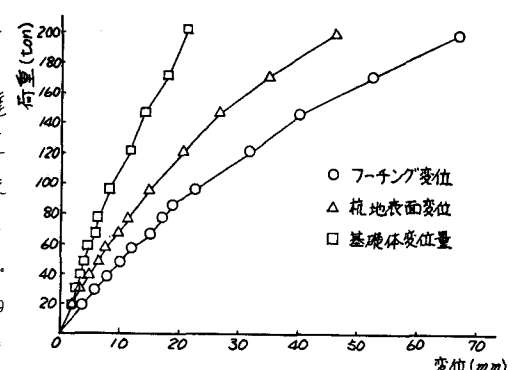


図-3 P1 試験体変位量

以上の検討より、水平荷重は最大200 tonまで加えられるとし、最大荷重20, 40, 60, 80, 100, 125, 150, 175, 200 tonの9サイクル繰り返し載荷とした。

3. 試験結果

図-3はP2, P1の水平変位量を示す。フーチング変位は明確な降伏点を有しないが、2小まくいの地表面での変位と基礎体の変形量に分離すれば、弾塑性的な地盤変位と弾塑性な基礎変位の重ね合わせであることがよくわかる。図-3の基礎体変形量が150 mm付近で曲がっていきることで、くい体の降伏と対応している。いまにせよ、くいの許容支持力の3倍近くの荷重に対するもじゅう性的な破壊を示すことなく、荷重の再分配により十分な耐力を保持していることが確認できる。残留変位量も最大変位量の増加に対応して増加の傾向にある。

図-4において、フーチング水平バネ定数が変位の増大に応じてかなり低減することがわかる。この傾向は、地盤反力係数の傾向とよく一致しており、地盤の塑性化の影響が支配的であることがわかる。

図-5に示す地盤反力係数は、ひずみ量から求まる曲線で、せん断力から逆算した値である。くいの変位量の増加に応じて減少するところが確認できるが、その傾向は道路橋示方書における低減式 $\eta = 10.5\% / \delta$ の傾向とよく一致するところがわかる。群ぐい効果の影響から、3列目のくいの地盤反力係数が他の2列に比べて大きい。

図-6に各くいの列の荷重分担を示すが、大きな荷重においても各列が比較的均一に負担することができる。

4.まとめ

本実験によ、次のことが確認できた。

(1)地盤やくいの許容支持力の3倍程度の水平荷重を加えても、基礎は十分な耐力を有する。

(2)荷重が大きくなるに従い、くい基礎は弾塑性的な挙動を示すが、その傾向は現行設計法により十分推定しうる。

(3)大きな荷重に対しても、各くい列間の荷重分担は比較的均一である。

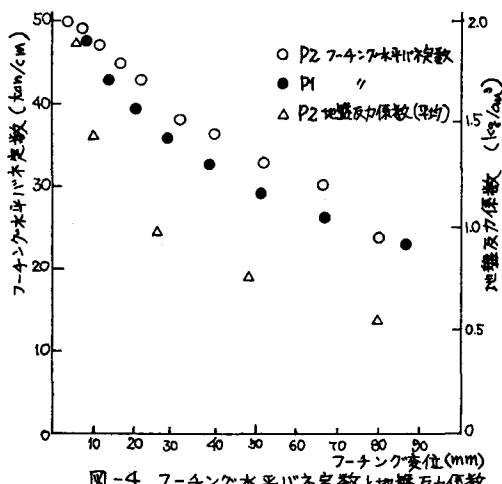


図-4 フーチング水平バネ定数と地盤反力係数

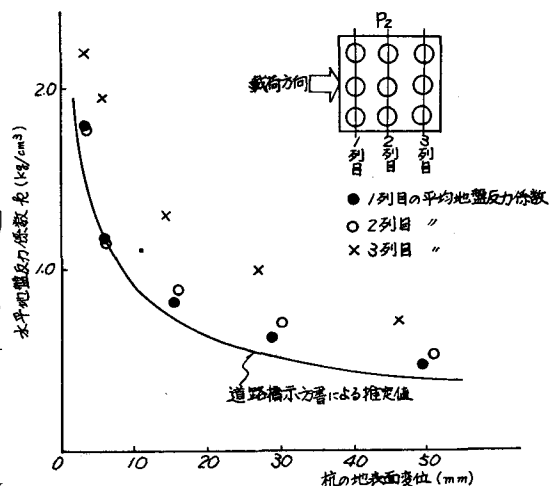


図-5 地盤反力係数

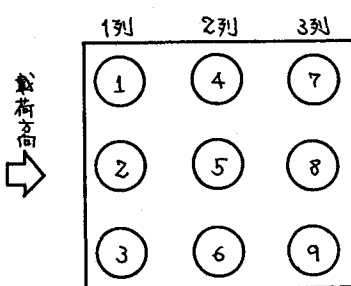


図-6 くい列間の荷重分担